

• 腹部影像学 •

扩散加权成像评估子宫内膜癌淋巴血管间隙侵犯的价值

漆万银,程勇,杨述根

【摘要】 目的:探讨磁共振扩散加权成像(DWI)评估子宫内膜癌淋巴血管间隙侵犯(LVSI)的价值。方法:回顾性分析 97 例经病理证实的子宫内膜癌患者的临床及影像资料,测量其表观扩散系数(ADC)值。将 97 例患者分为 LVSI(+)组 31 例与 LVSI(-)组 66 例,比较两组患者最小 ADC 值(ADC_{min})、平均 ADC 值(ADC_{mean})、最大 ADC 值(ADC_{max})的差异,并绘制受试者工作特性(ROC)曲线评估各 ADC 值对子宫内膜癌 LVSI 的诊断价值。结果:两组患者的 ADC_{max} 值差异无统计学意义($P > 0.05$);LVSI(+)组与 LVSI(-)组患者的 ADC_{min} 值分别为 $(0.82 \pm 0.12) \times 10^{-3} \text{ mm}^2/\text{s}$ 和 $(1.01 \pm 0.14) \times 10^{-3} \text{ mm}^2/\text{s}$, ADC_{mean} 值分别为 $(1.04 \pm 0.16) \times 10^{-3} \text{ mm}^2/\text{s}$ 和 $(1.17 \pm 0.14) \times 10^{-3} \text{ mm}^2/\text{s}$,差异均有统计学意义(P 值均 < 0.001)。以 ADC_{min} 取 $0.90 \times 10^{-3} \text{ mm}^2/\text{s}$ 作为最佳诊断阈值时,对应的曲线下面积、敏感度、特异度、诊断符合率分别为 0.88、80.65%、83.33%、82.47%;以 ADC_{mean} 取 $1.06 \times 10^{-3} \text{ mm}^2/\text{s}$ 作为最佳诊断阈值时,对应的曲线下面积、敏感度、特异度、诊断符合率分别为 0.76、77.42%、78.79%、72.35%。ADC_{min} 对 LVSI 的诊断效能优于 ADC_{mean}($Z = 2.71, P = 0.007$)。**结论:** ADC 值对评估子宫内膜癌 LVSI 具有一定价值,其中 ADC_{min} 的诊断效能更优。

【关键词】 扩散加权成像; 磁共振成像; 子宫内膜癌; 淋巴血管间隙侵犯

【中图分类号】 R737.33;R445.2 **【文献标志码】** A **【文章编号】** 1000-0313(2021)02-0222-05

DOI:10.13609/j.cnki.1000-0313.2021.02.014

开放科学(资源服务)标识码(OSID):



Value of diffusion-weighted imaging in evaluating lymphovascular space invasion of endometrial cancer

QI Wan-yin, CHENG Yong, YANG Shu-gen. Department of Radiology, the Affiliated Hospital of Southwest Medical University, Sichuan 646000, China

【Abstract】 **Objective:** To investigate the value of diffusion-weighted imaging (DWI) in evaluating lymphovascular space invasion (LVSI) of endometrial cancer. **Methods:** The clinical and imaging data of 97 patients with pathologically confirmed endometrial cancer were retrospectively analyzed. They were divided into LVSI (+) group ($n=31$) and LVSI (-) group ($n=66$). The apparent diffusion coefficient (ADC) values, including minimum ADC value (ADC_{min}), mean ADC value (ADC_{mean}) and maximum ADC value (ADC_{max}), were measured. The ADC_{min}, ADC_{mean} and ADC_{max} were compared between the two groups. The diagnostic performance of ADC values for differentiation of LVSI was determined by receiver operating characteristic curve (ROC). **Results:** There was no significant difference in ADC_{max} between the two groups ($P > 0.05$). The ADC_{min} values of LVSI (+) group and LVSI (-) group were $(0.82 \pm 0.12) \times 10^{-3} \text{ mm}^2/\text{s}$ and $(1.01 \pm 0.14) \times 10^{-3} \text{ mm}^2/\text{s}$, respectively, and the ADC_{mean} values were $(1.04 \pm 0.16) \times 10^{-3} \text{ mm}^2/\text{s}$ and $(1.17 \pm 0.14) \times 10^{-3} \text{ mm}^2/\text{s}$, respectively, with significant differences (all $P < 0.001$). With the threshold of $0.90 \times 10^{-3} \text{ mm}^2/\text{s}$ for ADC_{min}, the corresponding area under ROC (AUROC), sensitivity, specificity and accuracy were 0.88, 80.65%, 83.33% and 82.47%, respectively. With the threshold of $1.06 \times 10^{-3} \text{ mm}^2/\text{s}$ for ADC_{mean}, the AUROC, sensitivity, specificity and accuracy were 0.76, 77.42%, 78.79% and 72.35%, respectively. The diagnostic performance of ADC_{min} for LVSI (+) was better than that of ADC_{mean} ($Z = 2.704, P = 0.007$). **Conclusion:** ADC_{min} may be valuable for differentiation of LVSI of endometrial cancer.

【Key words】 Diffusion weighted imaging; Magnetic resonance imaging; Endometrial cancer;

作者单位:646100 四川,西南医科大学附属医院放射科

作者简介:漆万银(1990—),男,四川泸州人,技师,主要从事磁共振技术工作。

通信作者:杨述根,E-mail:mriysg@126.com

Lymphovascular space invasion

子宫内膜癌是女性常见的恶性肿瘤之一,其发病率渐呈上升之势。淋巴血管间隙侵犯(Lymphovascular space invasion,LVSI)被认为是子宫内膜癌发生淋巴结转移及远处播散的先决条件^[1-2]。有文献指出,在伴有盆腔淋巴结转移的子宫内膜癌患者中,LVSI 阳性者占比 25%~45%^[3-4]。此外,LVSI 阳性子宫内膜癌患者相比 LVSI 阴性者,其 5 年复发率(分别为 25.5% 和 8.5%)和远处转移比例均更高(分别为 55.4% 和 29.9%)^[5]。此外,LVSI 与子宫内膜癌的恶性生物学行为及治疗效果密切相关,LVSI 阳性患者病理级别更高、病灶体积更大、更容易侵犯子宫肌层;LVSI 阳性还是预测新辅助化疗的独立危险因素^[6-7]。Veade 等^[8]通过对美国国家癌症数据库中 28076 例子宫内膜癌患者的大样本研究表明,LVSI 是放化疗后淋巴结复发以及较低生存率的独立危险因素。Boothe 等^[9]强调了辅助放化疗(adjuvant radiotherapy,aRT)对改善 LVSI 患者预后的重要性,认为 aRT 能够使不同阶段的 LVSI 阳性患者获益,而 LVSI 阴性患者只有在 III 期才获益,提示了 LVSI 对指导治疗策略制定的重要性。

扩散加权成像(diffusion-weighted imaging,DWI)能够反映水分子扩散受限程度,并以表观扩散系数(apparent diffusion coefficient,ADC)值进行定量分析,继而体现肿瘤细胞的致密性、核质比等生物学信息。既往研究指出^[10-11],ADC 值与子宫内膜癌较高的病理学分级以及更差的分化程度密切相关。目前,DWI 对子宫内膜癌 LVSI 的诊断效能鲜见报道,本研究旨在探讨 DWI 对子宫内膜癌 LVSI 的诊断价值,以期为患者病情评估及治疗方案提供参考依据。

材料与方法

1. 病例资料

回顾性分析西南医科大学附属医院 2017 年 1 月至 2019 年 1 月间确诊为子宫内膜癌患者的临床、影像及病理学资料。病例纳入标准:①患者术前行 MR 扫描,包括 T₁WI、T₂WI、DWI、动态对比增强 MRI(dynamic contrast-enhanced, DCE-MRI)等;②于我院行手术病理确诊;③MR 扫描与手术病理确诊间隔时间不超过 1 个月。病例排除标准:①患者在 MR 扫描前行子宫内膜癌相关治疗;②病灶直径小于 1 cm,影响 ADC 值的测量;③图像质量欠佳或影像资料丢失。本研究共纳入 97 例患者,其中 LVSI(+) 组 31 例,LVSI(-) 组 66 例,年龄 35~76 岁,中位年龄 56 岁。

2. 检查方法

MRI 检查采用 3.0T 超导磁共振扫描仪(Philips, Achieva),相控阵体线圈,扫描时患者取仰卧位。扫描参数:矢状面 T₂ 抑脂序列,TE 80 ms,TR 4000 ms;轴面 T₁WI 抑脂序列,TE 4.8 ms,TR 2.4 ms,层厚 4 mm,层间距 1.5 mm,带宽 31.25 KHz,视野 360 mm×360 mm;轴面 T₂WI,TE 80 ms,TR 8000 ms,层厚 4 mm,层间距 1.5 mm,带宽 31.25 KHz,视野 360 mm×360 mm。DWI 采用单次激发平面回波(echo planar imaging,EPI)技术,TE 83 ms,TR 4200 ms,层厚 6 mm,层间距 1.5 mm,b 值取 0、800 s/mm²。DCE-MRI 检查对比剂采用德国拜耳(Bayer)公司生产的加乐显(Gadovist),以 2~3 mL/s 流率经肘静脉团注,注射剂量 0.1 mmol/kg 体重。

3. 图像处理

扫描完成后,图像自动导入后处理工作站并生成 ADC 图。在 ADC 图上,参照常规 MR 序列(T₁WI、T₂WI 及 DCE),在尽量避免明显坏死、出血、囊变区域的情况下,选取瘤灶最大层面,沿着病灶边缘勾勒感兴趣区(region of interest,ROI),获取病灶的 ADC 值,包括最小 ADC 值(ADCmin)、平均 ADC 值(ADC-mean)以及最大 ADC 值(ADCmax)。以上操作均由两位具备 10 年以上诊断经验的影像学医师在不知病理结果的情况下独立进行,取 2 位医师各自测量结果的均值作为研究所需 ADC 值(图 1)。

4. 统计学分析

采用 SPSS 19.0 软件进行统计学分析。计量资料符合正态分布者以均数±标准差表示,符合偏态分布者以中位数(四分位数间距)表示,计数资料则以率(%)表示。使用组内相关系数(intraclass correlation efficient,ICC)评估两位放射医师测量 ADC 值的可重复性。计数资料的组间比较采用卡方检验,计量资料的组间比较采用独立样本 t 检验(符合正态分布)或 Wilcoxon 秩和检验(符合偏态分布)。绘制受试者工作特性(receiver operating characteristic,ROC)曲线评估各 ADC 值的诊断效能,计算相应的 ROC 曲线下面积(area under curve,AUC)、敏感度、特异度及诊断符合率,并使用 Medcalc15.2.2 软件包以 Delong 法对 ROC 曲线的诊断效能进行两两比较。以 P<0.05 为差异有统计学意义。

结 果

1. ADC 值的可重复性测量分析

两位放射医师测量的 ADCmax、ADCmin 及 ADCmean

的ICC值分别为0.817、0.953和0.932(P 值均<0.05),提示两位医师测量ADC值的可重复性均较好。

2.LVSI(+)组与LVSI(-)组患者的临床资料

对LVSI(+)与LVSI(-)两组子宫内膜癌患者的临床资料进行比较,结果显示与LVSI(-)组患者比较,LVSI(+)组患者的肌层侵犯程度更深、原发瘤直径更大以及组织学分级更高(P <0.05,表1,图2、3)。

表1 子宫内膜癌LVSI(-)组与LVSI(+)组患者的临床病理特征比较

参数	LVSI(-)组 (n=66)	LVSI(+)组 (n=31)	Z/ χ^2 值	P值
年龄(岁)	53.5(44.3,66.8)	61.0(46.0,68.0)	$Z=-0.69$	0.488
绝经状态(n,%)			$\chi^2=0.67$	0.553
未绝经	27(40.9)	10(32.3)		
已绝经	39(59.1)	21(67.7)		
肌层侵犯(n,%)			$\chi^2=47.70$	<0.001
<1/2	58(87.9)	5(16.1)		
≥1/2	8(12.1)	26(83.9)		
原发瘤直径(n,%)			$\chi^2=46.81$	<0.001
<30mm	59(89.4)	6(19.4)		
≥30mm	7(10.6)	25(80.6)		
组织学分级(n,%)			$\chi^2=19.10$	<0.001
G1	22(33.3)	3(9.7)		
G2	42(63.6)	18(58.1)		
G3	2(3.0)	10(32.3)		

3.LVSI(+)组与LVSI(-)组患者的ADC值比较

对LVSI(+)组与LVSI(-)组患者的各ADC值进行比较,结果显示两组的ADCmax差异无统计学意义($P>0.05$,表2),而LVSI(+)组的ADCmin及

ADCmean均小于LVSI(-)组,差异均有统计学意义(P 值均<0.05,图4)。

表2 子宫内膜癌2组各ADC值比较 ($\times 10^{-3} \text{ mm}^2/\text{s}$)

指标	LVSI(-)组	LVSI(+)组	t值	P值
ADCmin	1.01±0.14	0.82±0.12	6.87	<0.001
ADCmean	1.17±0.14	1.04±0.16	3.96	<0.001
ADCmax	1.30±0.15	1.24±0.21	1.63	0.1110

4.各ADC值对子宫内膜癌LVSI(+)与LVSI(-)的鉴别诊断效能

ROC曲线分析结果显示,ADCmin的诊断效能高于ADCmean值($Z=2.70, P=0.007$)。

当ADCmin取 $0.90 \times 10^{-3} \text{ mm}^2/\text{s}$ 作为最佳诊断阈值时,AUC为0.88(95%CI:0.80~0.94,图5),对应的诊断敏感度、特异度及诊断符合率分别为80.65%、83.33%及82.47%;当ADCmean取 $1.06 \times 10^{-3} \text{ mm}^2/\text{s}$ 作为最佳诊断阈值时,AUC为0.76(95%CI:0.66~0.84),对应的诊断敏感度、特异度及诊断符合率分别为77.42%、78.79%及78.35%。

讨 论

由于子宫内膜癌LVSI较高的恶性生物学行为,为了改善其远期生存率及预后结局,此类患者在手术方式上推荐行盆腔和腹主动脉旁淋巴结联合清扫术^[12-13]。因此,术前准确评估子宫内膜癌LVSI的发

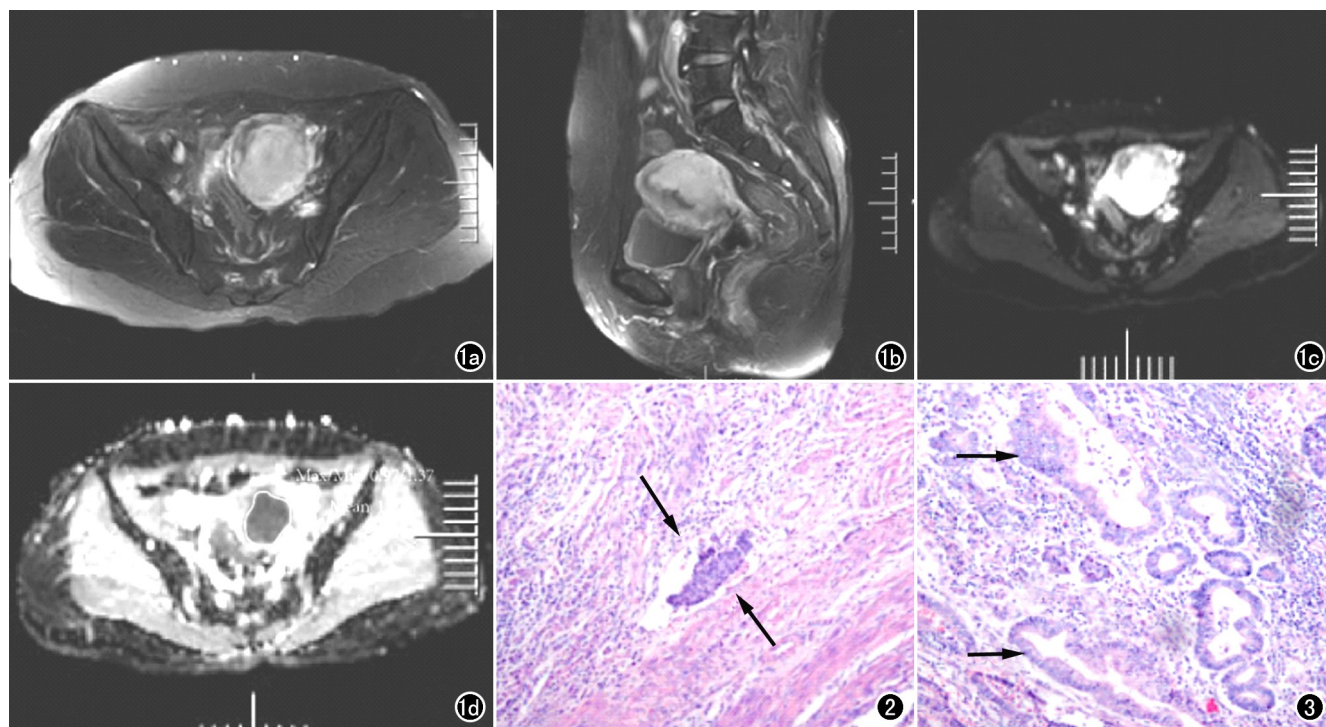


图1 瘤灶ADC值的获取方式。a)增强T₁WI轴面图像;b)增强T₁WI矢状面图像;c)DWI图像;d)ADC图,沿着瘤灶边缘勾勒ROI,获取病灶的ADC值。
图2 子宫内膜癌LVSI(+)患者病理图,黑箭指示处显示淋巴血管间隙侵犯(×100,HE)。
图3 子宫内膜癌LVSI(-)患者病理图,黑箭指示处显示未见淋巴血管间隙侵犯(×100,HE)。

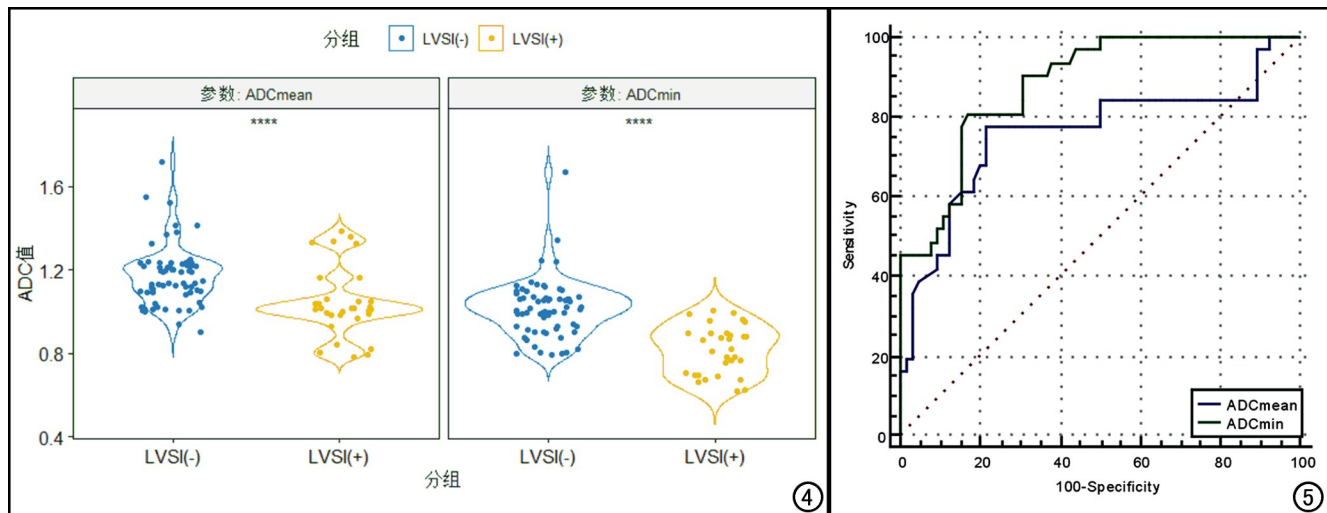


图 4 LVS(+)组与 LVS(−)组 ADCmean、ADCmin 比较小提琴图。图 5 ADCmin 和 ADCmean 的 ROC 曲线。

生,对指导临床医生制定合理的手术方案有重要作用。目前,通过 MRI 评估子宫内膜癌 LVS 的相应研究已经开展,Fujii 等^[14]研究指出,通过对子宫内膜癌进行 MR 动态增强扫描,瘤周强化(peritumoral enhancement,PTE)曲线表现为 2 型(瘤周不规则线样强化)时,对预测 LVS 具有重要意义。Shih 等^[15]研究指出,子宫内膜癌 LVS(+) 的 ADCmin 值更低、SUV_{max} 值更高,且 SUV_{max}/ADCmin 的诊断效能最优。Ueno 等^[16]在 MR 多模态影像(T_2 WI、DWI、DCE、ADC 图)手动勾画病灶兴趣区,基于图像纹理分析建立的随机森林图对子宫内膜癌 LVS 具有较高的预测价值。本研究结果显示,ADCmin、ADCmean 对评估子宫内膜癌 LVS 具有一定价值,且 ADCmin 的诊断效能最优,与 Shih 等^[15]的研究结果接近。

ADC 值是 MR-DWI 成像的一个定量参数,DWI 反映了细胞水分子的扩散受限程度。一般而言,肿瘤恶性程度越高,核质比更高、组织间增殖程度更显著,使得细胞水分子受限更明显,ADC 值更低^[10-11,15-16]。本研究结果显示,子宫内膜癌 LVS(+) 组的各 ADC 值均低于 LVS(−) 组,这与 LVS(+) 组较高的恶性生物学行为是相对应的:当子宫内膜癌存在 LVS 时,其病理级别更高,原组织腺体结构异质性增殖形成实体瘤,细胞致密性更小,故而水分子扩散受限更显著^[10]。另一方面,II 型(非雌激素依赖型)子宫内膜癌易发生 LVS,预后差^[17]。顾亮亮等^[11]研究发现,II 型子宫内膜癌的 ADC 值较其他类型更低,从侧面进一步支持本研究结果。

在不同 ADC 值的诊断价值比较中,ADC_{max} 对鉴别 LVS(−) 与 LVS(+) 子宫内膜癌无统计学差异,而 ADC_{min} 及 ADC_{mean} 存在统计学差异,且

ADC_{min} 的诊断效能更高。笔者认为这可能与恶性肿瘤异质性有关:子宫内膜癌在侵袭进展的过程中,瘤灶血供的生成并不能完全适应肿瘤的恶性增殖,易出现局灶性的坏死、囊变等情况,该区域的 ADC 值相对较高,故造成 LVS(−) 与 LVS(+) 组的 ADC_{max} 重叠过多,失去其鉴别诊断价值。另一方面,在子宫内膜癌中,由于其实性瘤灶成分的细胞致密性更大、核质比更高,该区域的 ADC 值趋于更低,ADC_{min} 值对该区域能够更好地反映;而 ADC_{mean} 的数值可能受到病灶囊变、坏死区水分子扩散受限不显著的影响,导致其不能更好地反映瘤灶细胞的真实扩散受限水平,故而 ADC_{mean} 的诊断效能低于 ADC_{min}^[15]。

本研究存在以下局限性:首先,本研究属于回顾性单中心研究,可能存在一定的回忆及选择偏倚;其次,本研究未对不同 b 值、不同场强及不同机型磁共振进行分组研究;最后,本研究入组病例数较少,有待进一步研究以获取更可靠、更细化的结果。

综上所述,本研究结果显示 ADC_{mean} 及 ADC_{min} 对子宫内膜癌 LVS 具有一定的鉴别诊断价值,且 ADC_{min} 的诊断效能最优,可为临幊上子宫内膜癌患者的评估及治疗提供参考依据。

参考文献:

- [1] Mannelqvist M, Stefansson IM, Bredholt G, et al. Gene expression patterns related to vascular invasion and aggressive features in endometrial cancer[J]. Am J Pathol, 2011, 178(2): 861-871.
- [2] dos Reis R, Burzawa JK, Tsunoda AT, et al. Lymphovascular space invasion portends poor prognosis in low-risk endometrial cancer [J]. Int J Gynecol Cancer, 2015, 25(7): 1292-1299.
- [3] Brie t JM, Hollema H, Reesink N, et al. Lymphovascular space involvement: an independent prognostic factor in endometrial cancer [J]. Gynecol Oncol, 2005, 96(3): 799-804.

- [4] Hahn HS, Lee IH, Kim TJ, et al. Lymphovascular space invasion is highly associated with lymph node metastasis and recurrence in endometrial cancer[J]. Aust N Z J Obstet Gynaecol, 2013, 53(3): 293-297.
- [5] Ørtoft G, Lausten-Thomsen L, Høgdall C, et al. Lymphovascular space invasion (LVSI) as a strong and independent predictor for non-locoregional recurrences in endometrial cancer: a danish gynecological cancer group study[J]. J Gynecol Oncol, 2019, 30(5): e84.
- [6] Ayhan A, sahin H, Sari ME, et al. Prognostic significance of lymphovascular space invasion in low-risk endometrial cancer[J]. Int J Gynecol Cancer, 2019, 29(3): 505-512.
- [7] Meydanli MM, Aslan K, Muftuoglu KH, et al. Is it possible to develop a prediction model for lymphovascular space invasion in endometrioid endometrial cancer? [J]. Int J Gynecol Pathol, 2020, 39(3): 213-220.
- [8] Veade AE, Foote J, Ehrisman J, et al. Associations between lymphovascular space invasion, nodal recurrence, and survival in patients with surgical stage I endometrioid endometrial adenocarcinoma[J]. World J Surg Oncol, 2019, 17(1): 80.
- [9] Boothe D, Wolfson A, Christensen M, et al. Lymphovascular invasion in endometrial cancer: prognostic value and implications on adjuvant radiation therapy use[J]. Am J Clin Oncol, 2019, 42(7): 549-554.
- [10] 刘海东,于红,许相丰,等.扩散加权成像在子宫内膜癌术前组织学分级评估中的价值[J].临床放射学杂志,2016,35(7):1053-1057.
- [11] 顾亮亮,李海明,刘佳,等.MR 扩散加权成像对Ⅰ型与Ⅱ型子宫内膜癌的鉴别诊断价值[J].放射学实践,2019,34(3):302-305.
- [12] Colombo N, Creutzberg C, Amant F, et al. ESMO-ESGO-ESTRO consensus conference on endometrial cancer: diagnosis, treatment and follow-up[J]. Radiother Oncol, 2015, 117(3): 559-581.
- [13] Meissnitzer M, Forstner R. MRI of endometrium cancer-how we do it[J]. Cancer Imaging, 2016, 16(1): 11.
- [14] Fujii S, Kido A, Baba T, et al. Subendometrial enhancement and peritumoral enhancement for assessing endometrial cancer on dynamic contrast enhanced MR imaging[J]. Eur J Radiol, 2015, 84(4): 581-589.
- [15] Shih IL, Yen RF, Chen CA, et al. Standardized uptake value and apparent diffusion coefficient of endometrial cancer evaluated with integrated whole-body PET/MR: correlation with pathological prognostic factors[J]. J Magn Reson Imaging, 2015, 42(6): 1723-1732.
- [16] Ueno Y, Forghani B, Forghani R, et al. Endometrial carcinoma: MR imaging-based texture model for preoperative risk stratification-A preliminary analysis[J]. Radiology, 2017, 284(3): 748-757.
- [17] Rutgers JK. Update on pathology, staging and molecular pathology of endometrial (uterine corpus) adenocarcinoma[J]. Future Oncol, 2015, 11(23): 3207-3218.

(收稿日期:2019-12-23 修回日期:2020-04-11)

下期要目

- 能谱 CT 在钛笼椎间植骨融合评估中的应用研究
T₂-mapping 定量评价 2 型糖尿病患者心功能的初步研究
胸膜外孤立性纤维瘤的影像表现与病理对照研究
MSCT 重建参数对肺结节定量测量的影响
表观扩散系数对卵巢浆液性癌亚型的鉴别诊断价值
高山滑雪运动踝关节急性期损伤 MRI 表现
DWIBS 对转化型淋巴瘤的诊断价值及与 Ki-67 标记指数的相关性研究
探讨 3.0T 磁共振 UTE 序列对肺结节的显示能力: 与 CT 图像对比

- 基于心脏磁共振组织追踪初步探究左心房功能预测缺血性心脏病患者预后的价值
基于 MR T₂WI 的影像组学对直肠癌新辅助治疗疗效的评估
背景抑制全身扩散加权成像口服枸橼酸铁铵泡腾颗粒消除胃肠道干扰的可行性
继发性噬血细胞综合征的¹⁸F-FDG PET/CT 特征及临床征象分析
Logistic 回归模型评估超声弹性成像对乳腺良恶性结节的诊断价值
扩散峰度成像在脑电图表现正常儿童特发性全面性癫痫的研究